



## پیش‌بینی محل شکستگی استخوان ران با استفاده از تحلیل المان محدود مدل حاصل از تصاویر دستگاه سنجش تراکم استخوان

زنیب محمدی، فاطمه السادات علوی\*

دانشکده مهندسی مکانیک، دانشگاه تربیت مدرس، تهران، ایران

تاریخچه داوری:  
دریافت: ۱۳۹۸/۰۵/۰۴  
بازنگری: ۱۳۹۸/۰۶/۲۷  
پذیرش: ۱۳۹۸/۰۹/۱۸  
ارائه آنلاین: ۱۳۹۸/۱۰/۰۹

کلمات کلیدی:  
پوکی استخوان  
شکستگی استخوان ران  
تحلیل المان محدود  
جذب‌سنگی دوگانه اشعه ایکس  
نقشه تراکم مواد معدنی

**خلاصه:** شکستگی استخوانی ناشی از پوکی استخوان، یکی از مشکلات اصلی سلامت عمومی است به همین دلیل، این موضوع توجه بسیاری از پزشکان و محققان زیست پزشکی را به خود جلب کرده است. در همین راستا هدف اصلی از این مطالعه، پیش‌بینی محل شکستگی استخوان ران تحت شرایط بارگذاری مختلف می‌باشد. امروزه استفاده از دستگاه‌های سنجش تراکم در کلینیک‌ها برای ارزیابی و پیش‌بینی پوکی استخوان گسترش یافته است. از این رو در این پژوهش تحلیل‌های المان محدود با به کارگیری مدل‌هایی بر مبنای تصاویر و گزارش دستگاه جذب‌سنگی دوگانه اشعه ایکس برای پیش‌بینی الگوی شکستگی انجام گردیده است. مدل‌های المان محدود در ابتدا بر مبنای تراکم مواد معدنی گزارش شده در چهار ناحیه مشخص شامل گردن، تروکانتر بزرگ، تروکانتر میانی و کل استخوان ران مدل تهیه شد. پس از آن به منظور بهبود دقت پیش‌بینی‌های انجام شده، نقشه تراکم مواد معدنی استخوانی به صورت پیکسل به پیکسل با توجه به داده‌های خام دستگاه سنجش تراکم استخوان هولوژیک استخراج گردید. تحلیل‌های خطی المان محدود با استفاده از معیار حداکثر فاکتور خطر تعیین شده براساس نرخ چگالی انرژی کرنشی به چگالی انرژی کرنشی نهایی انجام شد و بدین ترتیب محل المان‌های بحرانی به عنوان محل شکستگی استخوان ران مشخص گردید. نتایج به دست آمده حاکی از آن است که استفاده از توزیع غیر همگن تراکم مواد معدنی استخوانی در تحلیل المان محدود مدل‌های دوبعدی مبتنی بر روش جذب‌سنگی دوگانه اشعه ایکس می‌تواند به عنوان یک ابزار کارآمد جهت پیش‌بینی محل بروز شکستگی استخوان محسوب گردد.

### ۱- مقدمه

کیفیت ریزساختار استخوان، منجر به افزایش خطر شکستگی و در نتیجه شکست استخوان می‌شود [۱، ۲، ۳]. امروزه اندازه‌گیری تراکم مواد معدنی استخوانی<sup>۱</sup> با استفاده از روش جذب‌سنگی دوگانه اشعه ایکس<sup>۲</sup> به عنوان استاندارد طلایی پوکی استخوان توسط سازمان بهداشت جهانی پذیرفته شده است. محققان در جریان مطالعات گسترده جمعیتی، متوجه شدند که مقدار تراکم مواد معدنی استخوانی پایین با شکست استخوانی ارتباط دارد، بنابراین از آن برای پیش‌بینی شکستگی استخوان ران استفاده کردند [۴، ۵]، با این حال بسیاری از شکستگی‌ها در محدوده امن مقدار تراکم مواد معدنی استخوانی

شکستگی‌های استخوان ران در اثر سقوط و افتادن، یکی از معمول‌ترین خطرات تهدیدکننده سلامت سالمدان به ویژه افرادی است که مبتلا به پوکی استخوان می‌باشند. پوکی استخوان یا استنوتپروز<sup>۳</sup> طبق تعریف سازمان بهداشت جهانی<sup>۴</sup> یک اختلال متابولیک استخوان است که در آن تراکم مواد معدنی و در بی آن استحکام<sup>۵</sup> مکانیکی استخوان به طور قابل توجهی کاهش یافته [۱] و با ازدسترفتن

1 Osteoporosis

2 World Health Organization (WHO)

3 Strength

\* نویسنده عهده‌دار مکاتبات: fs.alavi@modares.ac.ir

4 Bone Mineral Density (BMD)  
5 Dual-Energy X-ray Absorptiometry (DXA)

حقوق مؤلفین به نویسنده‌گان و حقوق ناشر به انتشارات دانشگاه امیرکبیر داده شده است. این مقاله تحت لیسانس آفرینندگی مردمی (Creative Commons License) در دسترس شما قرار گرفته است. برای جزئیات این لیسانس، از آدرس <https://www.creativecommons.org/licenses/by-nc/4.0/legalcode> دیدن فرمائید.



بیماران استئوپنی یا استئوپروتیک مورداستفاده قرار می‌گیرد، بدین صورت که با معیارهای استانداردشده سنجیده و با نمونه‌های طبیعی مقایسه می‌گردد [۱۲].

در مطالعات المان محدود مبتنی بر این روش، اطلاعات به دست آمده از دستگاه جذب‌سنگی دوگانه اشعه ایکس شامل تراکم مواد معدنی نواحی مختلف و تصویر دو بعدی از شکل هندسی استخوان ران برای مطالعه رفتار مکانیکی استخوان تحت شرایط مرزی و بارگذاری‌های مشابه شرایط فیزیولوژیکی بدن، در اختیار نرم‌افزارهای المان محدود قرار می‌گیرد [۱۳]. در مطالعات ابتدایی توانایی خروجی‌های دستگاه سنجش تراکم استخوان در چهار ناحیه مختلف استخوان ران جهت پیش‌بینی خواص مکانیکی استخوان ران تحت بارگذاری‌های مختلف مورد ارزیابی قرار گرفت [۱۴]. سپس با استفاده از این خروجی‌ها در تحلیل المان محدود، استخوانی تخمین زده شد و بدین ترتیب این روش برای ارزیابی خطر شکست مورد استفاده قرار گرفت. در همین راستا، تاکنون از معیارهای متفاوتی جهت ارزیابی خطر شکست استفاده گردیده است. در برخی از مطالعات پیشین از معیار استخوانی به خصوص در ناحیه گردن<sup>۱</sup> استخوان ران [۱۵] و نسبت بار به استخوان<sup>۲</sup> برای تشخیص شکستگی حاد استفاده گردیده است، به طوری که نتایج حاصل از آن نشان می‌دهد که این معیار مستقل از مقدار تراکم مواد معدنی استخوانی می‌تواند بیماران در معرض خطر شکستگی ران را تشخیص دهد [۱۶]. همچنین در برخی مطالعات دیگر علاوه بر تراکم مواد معدنی استخوانی، از پارامترهای فیزیکی تأثیرگذار در نیروی ضربه‌ای همچون وزن، قد، شاخص توده بدنی و ضخامت بافت نرم جهت بررسی خطر شکست استفاده گردید [۱۷]. پس از آن در بسیاری از مطالعات از معیارهای شکست مختلفی با اندازه‌گیری نرخ تنش<sup>۳</sup> یا کرنش<sup>۴</sup> اعمالی به تنش یا کرنش تسلیم<sup>۵</sup> هر المان، همچون تنش و کرنش فون میزز<sup>۶</sup>، تنش‌های اصلی کششی و فشاری و مقدار حداقل آن‌ها و همچنین کرنش‌های اصلی کششی و فشاری و مقدار حداقل آن‌ها، استفاده گردید. در واقع در این مطالعات، بار شکست<sup>۷</sup> با تقسیم بار اعمالی به کوچک‌ترین مقدار معیارهای

تعزیف‌شده توسط سازمان بهداشت جهانی قرار گرفته است [۶، ۷]. محققان دریافتند از آن جایی که استخوانی علاوه بر تراکم و کیفیت استخوان به هندسه و سایز آن نیز وابسته است، تراکم مواد معدنی استخوانی به طور کامل نمی‌تواند بیانگر دقیقی از استخوان باشد [۶]. در همین راستا، بسیاری از محققان روش محاسباتی تحلیل المان محدود را برای پیش‌بینی دقیق و قابل اعتماد خطر و نیروی شکست، به کار گرفتند. در این روش مجموعه‌ای از متغیرها شامل هندسه دقیق استخوان، توزیع تراکم مواد معدنی و دیگر خصوصیات مکانیکی المان‌ها به کار گرفته می‌شود تا رفتار دقیق‌تری از استخوان را شبیه‌سازی کند [۸]. همچنین مطالعات اخیر نشان می‌دهد استفاده از مدل‌های المان محدود ساخته شده از تصاویر سیستم برش‌نگاری کمی رایانه‌ای می‌تواند با دقت بسیار خوبی استخوانی را ارزیابی و خطر شکست را تعیین کند [۹، ۱۰]؛ به طوری که مطابقت قابل توجهی با نتایج حاصل از آزمون‌های تجربی می‌توان مشاهده کرد [۱۱]. بنابراین استفاده از مدل المان محدود بر پایه برش‌نگاری کمی رایانه‌ای به یک روش تتبیت‌شده برای به دست آوردن رفتار مکانیکی ساختار استخوانی و پیش‌بینی استخوان ران بدل گردیده است.

روش برش‌نگاری کمی رایانه‌ای شامل اطلاعات هندسه و خواص مواد استخوانی مورد نیاز برای ساخت مدل سه بعدی المان محدود می‌باشد، که تاکنون محققان با استفاده از آن توانسته‌اند نیرو و الگوی شکست را به خوبی پیش‌بینی کنند، اما از آن جایی که دوز تابش اشعه در آن بسیار زیاد می‌باشد، برای ارزیابی‌های روزمره و عادی کلینیکی مناسب نمی‌باشد. همچنین با توجه به معایب این روش مانند نیاز به سخت‌افزار پیچیده، محاسبات زمان‌بر و هزینه‌بر، در سال‌های اخیر مطالعات بسیاری در زمینه ساخت مدل المان محدود دو بعدی بر مبنای داده‌های دستگاه سنجش تراکم استخوان صورت گرفته است. مقدار اشعه‌ای که در آزمون سنجش تراکم استخوان به بیمار تابانده می‌شود، معادل یک صدم اشعه دریافتی برای یک رادیوگرافی ساده است، بنابراین می‌توان تست را بدون این که کوچک‌ترین خطری متوجه بیمار باشد، بارها تکرار کرد. در این روش استاندارد تصویربرداری بالینی، ناحیه ستون فقرات کمری و لگن مورد ارزیابی قرار داده می‌شود و به طور معمول بر اساس تراکم مواد معدنی استخوانی سطحی که ارائه می‌دهد، برای تشخیص و تمایز بین

1 Neck

2 Load-to-strength ratio (LSR)

3 Stress

4 Strain

5 Yield

6 Von Mises

7 Failure force

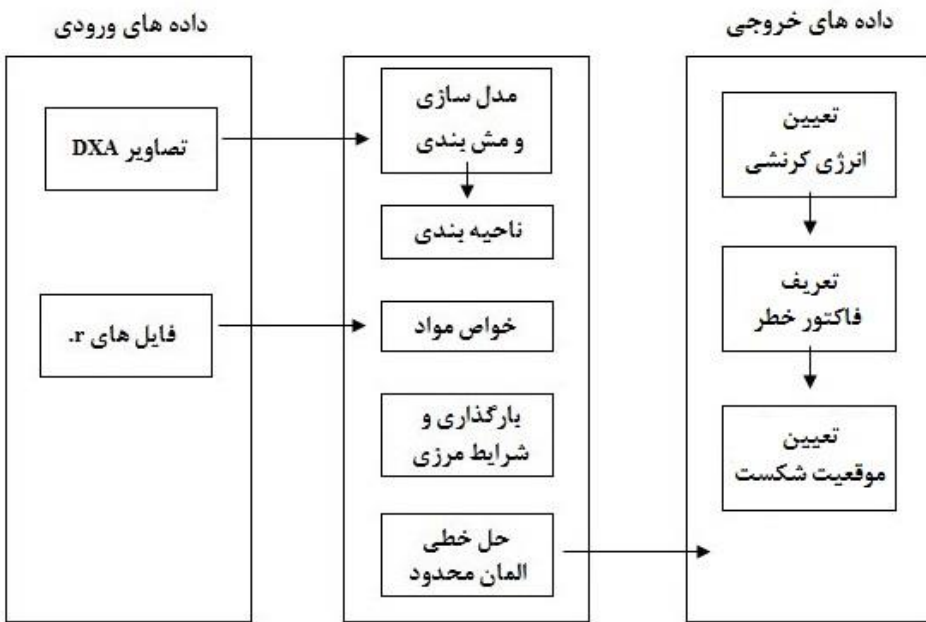


Fig. 1. Overview of DXA-based linear FEA

شکل ۱: تحلیل خطی المان محدود مبتنی بر تصاویر دستگاه جذب‌سنگی دوگانه اشعه ایکس

شکستگی استخوان ران در شکل ۱ نمایش داده شده است. روش مورد استفاده در این پژوهش مزایایی دارد که دقت پیش‌بینی‌های محل بروز شکستگی را بهبود می‌بخشد. به طور خاص یکی از متغیرهای مورد استفاده جهت تخصیص خواص مواد به مدل المان محدود، تراکم مواد معنی استخوانی می‌باشد. از آن جایی که استخوان یک ماده غیرهمگن است، تراکم مواد معنی استخوانی در هر جز کوچک آن متفاوت می‌باشد. مقدار تراکم مواد معنی استخوانی که در کلینیک‌ها و در گزارش حاصل از دستگاه سنجش تراکم استخوان نمایش داده می‌شود، مقدار میانگین تراکم مواد معنی استخوانی در چهار ناحیه موردنظر از جمله نواحی اصلی گردن، تروکانتر بزرگ، تروکانتر میانی<sup>۳</sup> و کل استخوان ران می‌باشد. بنابراین داده‌های حاصل از روش سنجش تراکم استخوان به تنها یک نمی‌تواند ارزیابی دقیقی از پیش‌بینی شکست استخوان ارائه دهد. در حالی که در این پژوهش نقشه تراکم مواد معنی استخوانی پیکسل به پیکسل با استفاده از داده‌های خام دستگاه هولوژیک به گونه‌ای استخراج گردیده است که مقدار خواص ماده را در هر المان از مدل به دست می‌دهد. قابل ذکر است تاکنون تعداد محدودی از محققان این روش را به منظور تحلیل المان محدود مدل‌های استخوانی به کار گرفته‌اند. بنابراین با در

شکست به دست آمده، حاصل می‌شود که با مقایسه با نتایج آزمون‌های تجربی بهترین معیار پیش‌بینی کننده مشخص گردید [۱۸]. همچنین در بسیاری از تحقیقات اخیر، معیار خطر شکست حاصل از تقسیم تنش فون میز به تنش تسلیم تحت بارگذاری افتادن و سقوط از کنار برای ارزیابی شکستگی استخوان ران مورد بررسی قرار گرفت [۲۰، ۱۹] و با معیار استحکام استخوانی مقایسه گردید [۲۱]. یکی دیگر از معیارهایی که اخیراً برای پیش‌بینی شکست استخوان مورد استفاده قرار گرفته است، با استفاده از نسبت انرژی کرنشی ناشی از نیروی ضربه‌ای به انرژی کرنشی نهایی تعریف می‌گردد. محققان دانشگاه منیتوبا<sup>۱</sup> از تعریف این معیار در هر سطح مقطع از مدل تیر<sup>۲</sup> ساخته شده از تصویر جذب‌سنگی جهت تحلیل نیروی ضربه‌ای به استخوان ران استفاده نموده‌اند [۲۲]. در این پژوهش برای اولین بار از معیار انرژی کرنشی جهت تخمین و پیش‌بینی محل بروز شکستگی استخوان ران بیماران با استفاده از تحلیل خطی المان محدود مبتنی بر داده‌های حاصل از روش جذب‌سنگی دوگانه اشعه ایکس در نیروی استاتیکی، استفاده گردیده است. مراحل روش مورد استفاده در این مطالعه در خصوص تجزیه و تحلیل خطی المان محدود بر اساس تصاویر دستگاه سنجش تراکم استخوان جهت دست‌یابی به الگوی

<sup>3</sup> Greater Trochanter

<sup>4</sup> Inter Trochanter

<sup>1</sup> Manitoba university

<sup>2</sup> Beam model

### جدول ۱. مشخصات بیماران مورد بررسی و اطلاعات گزارش اسکن سنجش تراکم استخوان مربوط به آن ها

Table 1 Overview of the densitometric measures and Characteristics (age, side) of the patients

تراکم مواد معدنی (گرم بر سانتی‌متر مربع)				عرض گردن (میلی‌متر)	سمت	سن	ردیف
کل	تروکانتر میانی	تروکانتر بزرگ	گردن ران				
۰/۷۶۲	۰/۸۹۷	۰/۵۵۲	۰/۵۶۴	۲۹/۹۰	چپ	۶۱	۱
۰/۷۳۵	۰/۸۳۸	۰/۵۸۷	۰/۶۵۷	۳۱/۸۰	چپ	۴۵	۲
۰/۸۹۰	۱/۰۶۸	۰/۶۱۹	۰/۶۸۰	۲۹/۴۲	چپ	۴۱	۳
۰/۷۳۱	۰/۸۳۱	۰/۵۶۴	۰/۶۲۲	۳۱/۷۶	راست	۴۵	۴

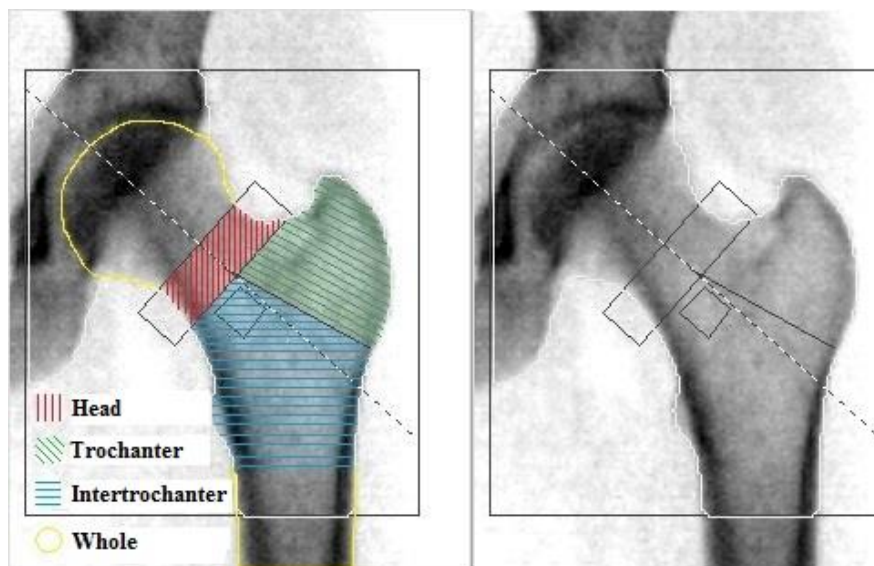


Fig. 2. Example of DXA image and ROIs

شکل ۲: تصویر اسکن سنجش تراکم استخوان و ناحیه بندی مطابق گزارش جذب‌سنگی دوگانه اشعه ایکس

صورت گرفت که داده‌های حاصل از آن و مشخصات بیماران مورد مطالعه در جدول ۱ آورده شده است. نوع اسکن<sup>۳</sup> در همه اسکن‌ها در حالت اسکن چپ/راست استخوان ران<sup>۴</sup> می‌باشد (فاصله خطوط<sup>۵</sup>: ۰/۹۰۱۰ میلی‌متر، رزولوشن نقطه‌های<sup>۶</sup> ۱/۰۰۸ میلی‌متر). در این نوع اسکن طول و عرض اسکن به ترتیب ۱۱۴ و ۱۵۴ میلی‌متر می‌باشد.

### ۲-۲- مدل‌سازی و محاسبه خواص مکانیکی

تصویر حاصل از اسکن سنجش تراکم استخوان، یک تصویر

نظر گرفتن توزیع غیرهمگن تراکم مواد معدنی برای مدل‌های مبتنی بر روش جذب‌سنگی دوگانه اشعه ایکس، می‌توان آن‌ها را جایگزینی کلینیکی برای مدل‌های المان محدود مبتنی بر روش برش‌نگاری کمی رایانه‌ای جهت پیش‌بینی رفتار شکست استخوان ران دانست.

### ۲- مواد و روش‌ها

#### ۱-۱- مشخصات نمونه‌ها و تصویربرداری

در این مطالعه از چهار بیمار مختلف در ناحیه لگن اسکن سنجش تراکم استخوان گرفته شد. همه تست‌ها توسط دستگاه جذب‌سنگی دوگانه اشعه ایکس مدل هورایزن<sup>۱</sup> کمپانی آمریکایی هولوژیک<sup>۲</sup>

<sup>3</sup> Scan Type

<sup>4</sup> x Left/ Right Hip

<sup>5</sup> Line Spacing

<sup>6</sup> Point Resolution

<sup>1</sup> Horizon

<sup>2</sup> Hologic

شد که این مقدار ثابت با استفاده از رابطه ۱ برای هر نمونه به صورت زیر حاصل می‌شود:

$$t = \frac{3.5\pi D}{16} \quad (1)$$

قابل ذکر است مقدار  $D$  همان میانگین عرض مقطع گردن استخوان ران در تصویر ورودی است [۱۸].

تفاوت اصلی دو مدل ایجادشده در تعداد خواص مواد تخصیصی به مدل‌ها می‌باشد. به گونه‌ای که به یکی تنها چهار خاصیت متفاوت و به دیگری به تمامی المان‌های آن خواص مواد متفاوت برآمده از چگالی متفاوت اختصاص داده شد. سپس هر دو مدل جهت تحلیل المان محدود آماده گردید.

### ۲-۱-۲- آماده‌سازی مدل چهار ناحیه‌ای

با توجه به گزارش اسکن جذب‌سنگی دوگانه اشعه ایکس استخوان ران به چند ناحیه مختلف با چگالی‌های متفاوت طبقه‌بندی می‌شود. همان‌طور که در شکل ۲ مشاهده می‌شود، این نواحی شامل گردن استخوان ران، تروکانتر بزرگ، تروکانتر میانی، سر<sup>۴</sup> و تنہ<sup>۵</sup> استخوان ران می‌باشند که از لحاظ بالینی و کلینیکی بسیار حائز اهمیت هستند. پس از ایجاد و جداسازی بخش استخوان ران از استخوان لگن، از آن یک مدل دوبعدی با ضخامت ثابت در نرم‌افزار سالیدورکس<sup>۶</sup> ساخته می‌شود. مدل به پنج بخش مختلف گردن ران، تروکانتر بزرگ، تروکانتر میانی، سر ران و تنہ تقسیم‌بندی می‌شود [۱۴]. به ترتیب به هریک از این بخش‌ها خواص مکانیکی مشتق شده از تراکم مواد معدنی گردن ران، تروکانتر بزرگ، تروکانتر میانی و به بخش سر و تنہ خواص مربوط به کل استخوان ران اختصاص داده می‌شود. بدین ترتیب مطابق شکل ۳ مدلی با چهار خواص مکانیکی متفاوت حاصل می‌گردد. قابل ذکر است که بافت استخوانی در هر بخش به صورت یک ماده همگن و ایزوتروپیک با ضریب پواسون ۰/۴ در نظر گرفته می‌شود [۲۳].

### ۲-۲-۲- آماده‌سازی مدل پیکسل به پیکسل

برای ایجاد مدل پیکسل به پیکسل، تصویر حاصل از اسکن

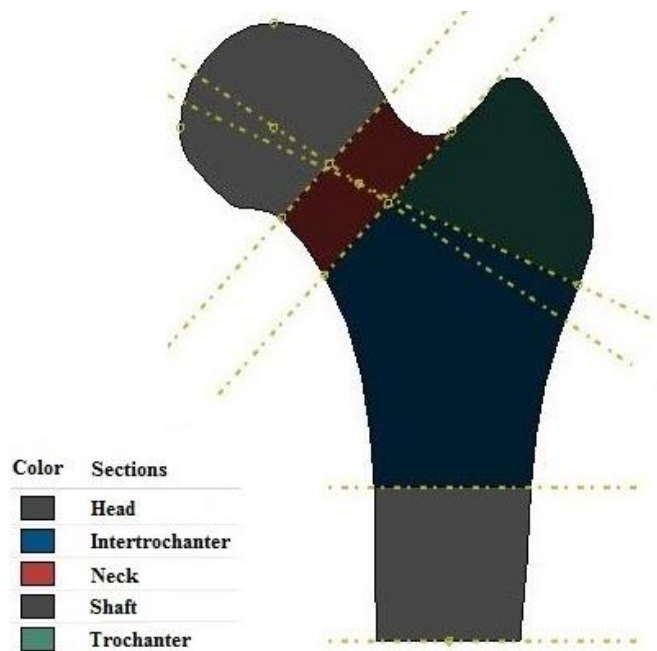


Fig. 3. DXA-based finite element model with 4 material properties

شکل ۳: مدل المان محدود چهار ناحیه‌ای ساخته شده از تصویر اسکن سنجش تراکم استخوان

خاکستری دو بعدی از صفحه کرونال<sup>۱</sup> ناحیه لگن می‌باشد که بعد از انجام اسکن جذب‌سنگی دوگانه اشعه ایکس از بیماران با فرمت دایکام<sup>۲</sup> ذخیره می‌گردد. نمونه‌ای از این تصویر در شکل ۲ قابل مشاهده می‌باشد. در این تصویر نواحی مختلف گردن ران، تروکانتر بزرگ، تروکانتر میانی و کل استخوان ران به عنوان نواحی تروکانتر میانی، سر ران و تنہ تقسیم‌بندی تراکم مواد معدنی استخوانی تعریف موردنظر<sup>۳</sup> جهت اندازه‌گیری تراکم مواد معدنی این نواحی جهت می‌گرددند. بدین ترتیب میانگین تراکم مواد معدنی این نواحی ارزیابی پوکی استخوان به صورت کلینیکی در گزارش‌های اسکن سنجش تراکم استخوان قابل دسترسی می‌باشند (مطابق جدول ۱). با استفاده از این تصاویر دو مدل مجزا جهت ارزیابی و بهبود دقت تحلیل‌ها ساخته شد. در این مطالعه با توجه به دو بعدی بودن تصویر ورودی و برای این که سطح مقطع و ممان اینرسی مقطع مستطیلی در مدل ساخته شده تا حد امکان به سطح مقطع و ممان اینرسی ناحیه گردن ران با مقطع دایره‌ای در نمونه واقعی نزدیک باشد، هندسه مدل ساخته شده مطابق شکل ۴ (ب) با یک ضخامت ثابت به اندازه  $t$  فرض

4 Head

5 Shaft

6 Solidworks

1 Coronal Plane

2 DICOM

3 Region Of Interest (ROI)

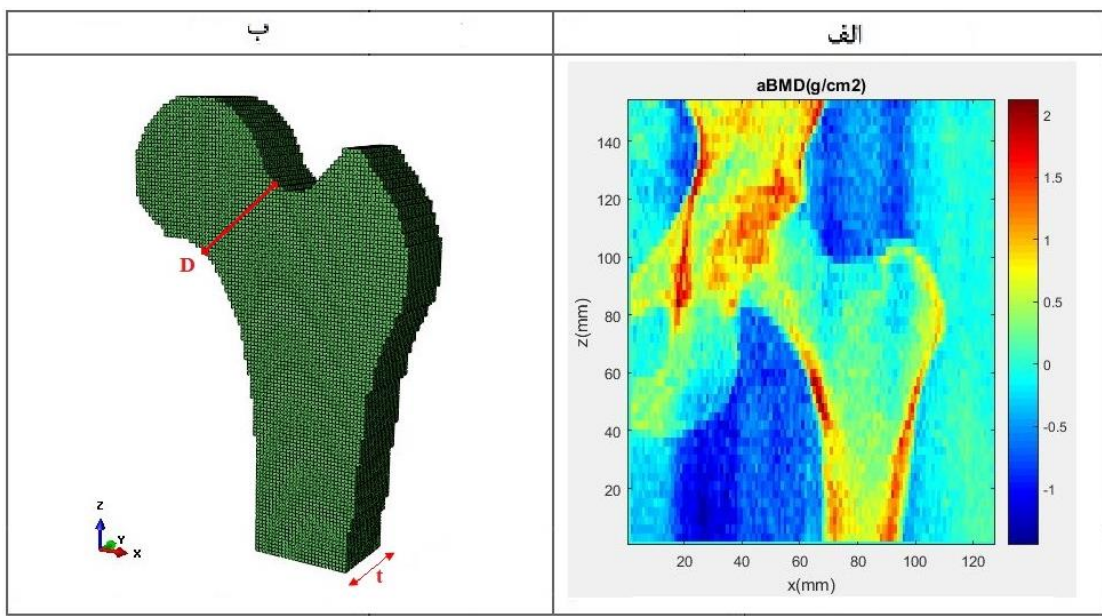


Fig. 4. a). Pixel-by-pixel BMD map b). 3D FE model with a subject-specific constant thickness that meshed to  $1 \times 1 \times 1 \text{ mm}^3$  in size voxels.

شکل ۴: الف) نقشه پیکسل به پیکسل تراکم مواد معدنی استخوانی ب) مدل المان محدود سه بعدی با ضخامت ثابت  $t$  و مشبندی شده بر اساس وکسل

ضرایب و با توجه به رابطه ۲، مقدار تراکم مواد معدنی استخوانی در هر پیکسل از ناحیه اسکن سنجش تراکم استخوان به دست می آید.

$$BMD = \frac{(J_A^L - k J_A^H) - (J_S^L - k J_S^H)}{(J_B^L - J_A^L) - k (J_B^H - J_A^H)} BMD_{ref} \quad (2)$$

در این رابطه  $J_A^H$ ,  $J_B^H$  و  $J_S^H$  به ترتیب ضرایب لگاریتمی تضعیف اشعه ایکس مربوط به هوا، بافت استخوانی و بافت نرم در انرژی زیاد و همچنین  $J_A^L$ ,  $J_B^L$  و  $J_S^L$  ضرایب لگاریتمی تضعیف اشعه ایکس مربوط به هوا، بافت استخوانی و بافت نرم در انرژی کم می باشد. مقدار  $k$  با استفاده از نسبت مقدار ضریب تضعیف اشعه در طول بافت نرم در انرژی کم به مقدار ضریب تضعیف اشعه در طول بافت نرم در انرژی زیاد محاسبه می گردد که مقدار میانگین آن به طور معمول در گزارش سنجش تراکم استخوان هولوژیک در دسترس می باشد. همچنین  $BMD_{ref}$  مقدار چگالی استخوانی چرخ مرجع<sup>۵</sup> می باشد که مقدار آن در فایل آرشیوی p. قابل دسترسی است [۲۶].

بدین ترتیب نقشه تراکم مواد معدنی استخوانی بر حسب گرم بر سانتی متر مربع برای کل ناحیه موردنظر<sup>۶</sup> اسکن حاصل می گردد.

سنجش تراکم استخوان این بار در نرم افزار میمیکس<sup>۱</sup> نسخه ۲۰ مورد بردازش قرار می گیرد و به این ترتیب مطابق شکل ۴ (ب)، شکل هندسی استخوان ران به صورت مشبندی شده استخراج می شود. در کنار مدل سازی، برای استخراج و پردازش داده های خام هولوژیک جهت اختصاص خواص مواد به هر المان از مدل، از روش های ارائه شده توسط بلیک و همکارانش<sup>۲</sup> استفاده گردید [۲۴]. داده های خام هولوژیک موجود در فایل های آرشیوی مت Shank از ضرایب لگاریتمی تضعیف اشعه ایکس در دو سطح انرژی مجزا می باشند که به طور مستقیم می توان آن ها را به تراکم مواد معدنی استخوان تبدیل نمود [۲۶, ۲۵].

در این تحقیق با استفاده از کدهای متلب<sup>۳</sup> و روش پیکسل به پیکسل ارائه شده، تراکم مواد معدنی استخوانی برای هر پیکسل از داده های خام هولوژیک محاسبه گردید. همان طور که ذکر شد فایل آرشیوی<sup>۴</sup> اسکن سنجش تراکم استخوان شامل شش ضریب لگاریتمی تضعیف اشعه ایکس از سه بافت نرم، استخوان و هوا در دو سطح انرژی کم و زیاد در هر پیکسل از ناحیه اسکن می باشد. با استفاده از این

1 Mimics

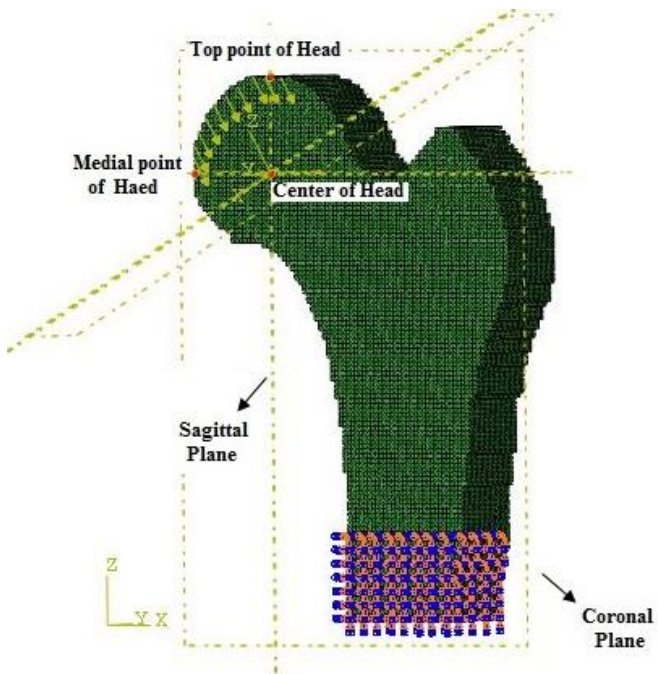
2 Blake et al

3 MATLAB

4 .r file

5 Reference wheel

6 Region Of Interest (ROI)



**Fig. 5. Loading and boundary condition in a specific orientation ( $\alpha=30$ ,  $\beta=0$ )**

شکل ۵: شرایط مرزی و بارگذاری در جهت  $\alpha = 30^\circ$  و  $\beta = 0^\circ$

$\rho_{ash}$  یا چگالی سطحی<sup>۶</sup> بر حسب گرم بر سانتی متر مربع<sup>۷</sup> می باشد، این چگالی را با استفاده از قطر سطح مقطع گردن ران که با میانگین عرض گردن استخوان ران برابر است و با توجه به رابطه ۵ می توان به چگالی ظاهری<sup>۸</sup> تبدیل کرد [۲۸].

$$\rho_{app} = 1.2 \frac{\rho_A}{D} + 0.0242 \quad (5)$$

در رابطه ۵  $\rho_{ash}$  چگالی سطحی بر حسب گرم بر سانتی متر مربع،  $D$  میانگین عرض مقطع گردن استخوان ران بر حسب سانتی متر و چگالی ظاهری بر حسب گرم بر سانتی متر مکعب می باشد. سپس با استفاده از رابطه ۶ با ضرب چگالی ظاهری حاصل از چگالی سطحی در عدد ثابت  $0.55/0.055$  می توان به مقدار چگالی خاکستر مورد نیاز برای رابطه های ۳ و ۴ دست یافت [۲۸].

$$\rho_{app} = \frac{\rho_{ash}}{0.55} \quad (6)$$

در این رابطه،  $\rho_{ash}$  چگالی خاکستر و  $\rho_{app}$  چگالی ظاهری بر حسب

۶ Areal Density

۷ g/cm<sup>2</sup>

۸ Apparent Density

اندازه هر پیکسل داده تراکم مواد معدنی استخوانی  $100 \times 100 \text{ mm}^2$  میلی متر مربع می باشد و تعداد پیکسل ها در کل ناحیه اسکن برای تمامی مدل ها ۱۹۲۷۸ می باشد. بدین ترتیب در اینجا، استخوان به صورت یک ماده غیر همگن با خواص مکانیکی متفاوت در هر المان و ایزوتروپیک با ضریب پواسون  $0.4/0.3$  در نظر گرفته می شود. به عنوان نمونه، توزیع غیر همگن به پیکسل تراکم مواد معدنی استخوانی محاسبه شده با استفاده از روش ذکر شده برای یک بیمار در شکل ۴ (الف) آورده شده است.

قابل ذکر است همان طور که در شکل ۴ (الف) نشان داده شده است، بالا بودن تراکم مواد معدنی استخوانی در قسمت سر استخوان ران به دلیل همپوشانی سر استخوان ران با استخوان لگن در اسکن جذب سنجی دوگانه اشعه ایکس می باشد.

### ۲-۳-۲-۳- اختصاص خواص مکانیکی و اعمال بارگذاری

برای اختصاص دادن خواص مکانیکی و اعمال شرایط مرزی و بارگذاری مناسب تحلیل، هر دو مدل آماده شده به نرم افزار المان محدود آباکوس<sup>۱</sup> انتقال می باند. به منظور محاسبه خواص مکانیکی استخوان نظری مدول الاستیک و استحکام در هر المان و هر بخش از مدل ها، از روابط تجربی ارائه شده بر حسب چگالی استخوانی توسط کیاک<sup>۲</sup> به صورت رابطه های ۳ و ۴ استفاده شده است [۲۷].

$$E(\rho_{ash}) = \begin{cases} 33900 \rho_{ash}^{2.20} & \rho_{ash} \leq 0.27 \\ 5307 \rho_{ash} + 4690 & 0.27 < \rho_{ash} \leq 0.6 \\ 10200 \rho_{ash}^{2.01} & \rho_{ash} > 0.6 \end{cases} \quad (3)$$

$$S(\rho_{ash}) = \begin{cases} 137 \rho_{ash}^{1.88} & \rho_{ash} \leq 0.317 \\ 114 \rho_{ash}^{1.72} & \rho_{ash} > 0.317 \end{cases} \quad (4)$$

در این روابط  $E$  مدول الاستیک و  $S$  استحکام بر حسب مگا پاسکال<sup>۳</sup> و همچنین  $\rho_{ash}$  چگالی خاکستر<sup>۴</sup> بر حسب گرم بر سانتی متر مکعب<sup>۵</sup> می باشد. همچنین شایان ذکر است از آن جایی که چگالی حاصل از داده های خام اسکن جذب سنجی دوگانه اشعه ایکس در هر پیکسل،

۱ Abaqus

۲ Keyak

۳ MPa

۴ Ash Density

۵ g/cm<sup>3</sup>

**جدول ۲: جهات مختلف اعمال نیروی فشاری در حالت ایستاده**

گرم بر سانتی متر مکعب می باشد.

**Table 2. Different compressive loading orientation in Stance configuration**

$\beta$ (درجه)	$\alpha$ (درجه)	شرایط بارگذاری
۰	-۳۰	۱
۰	۰	۲
۰	۳۰	۳

در این رابطه  $t$  همان ضخامت ثابت مدل بر حسب میلی متر می باشد.

نیروی گسترده در تمامی مدل ها در جهات مختلف بارگذاری نسبت به صفحه ساجیتال<sup>۳</sup> به گونه ای که این زاویه از  $-30^\circ$  تا  $+30^\circ$  تغییر کند، در نظر گرفته شد. همچنین در تمامی بارگذاری ها با توجه به فرضیات ساده سازی ذکر شده جهت این نیرو نسبت به صفحه کرونال<sup>۴</sup> صفر درجه تعریف گردید (جدول ۲).

همچنین شرایط مرزی به گونه ای تعریف شد که ناحیه پایینی تنہ استخوان ران در قسمت پروگزیمال به فاصله ۲ سانتی متر به صورت کاملاً گیردار مقید گردید. قابل ذکر است در این مطالعه شرایط مرزی و جهات بارگذاری متناظر با شرایط مرزی و بارگذاری آزمایشات تجربی صورت گرفته در مطالعات قبلی تعیین گردید [۱۱]. در شکل ۵ می توان شرایط مرزی و بارگذاری مربوط به یکی از مدل ها را در جهت بارگذاری  $\alpha=30^\circ$  و  $\beta=0^\circ$  در حالت ایستاده مشاهده کرد.

در نهایت مدل های چهار ناحیه ای و پیکسل به پیکسل تحت سه جهت مختلف مطابق جدول ۲ در حالت ایستاده به صورت استاتیکی بارگذاری شدند و به وسیله حل خطی المان محدود تحلیل گردیدند. در این مطالعه مدل های المان محدود به طور متوسط با  $100,000$  المان ۸ گره ای توسط نرم افزار آباکوس مورد تجزیه و تحلیل خطی قرار گرفت. به طور کلی در مدل های المان محدود بر اساس وکسل بهتر است اندازه المان ها برابر با اندازه وکسل ها در نظر گرفته شود. در تحقیقات گذشته توسط میرزائی و همکاران به منظور بررسی تاثیر اندازه المان بر نتایج پیش بینی ها در مدل های بر اساس وکسل، مطالعه ای صورت گرفت. با مقایسه نتایج حاصل از تجزیه و تحلیل

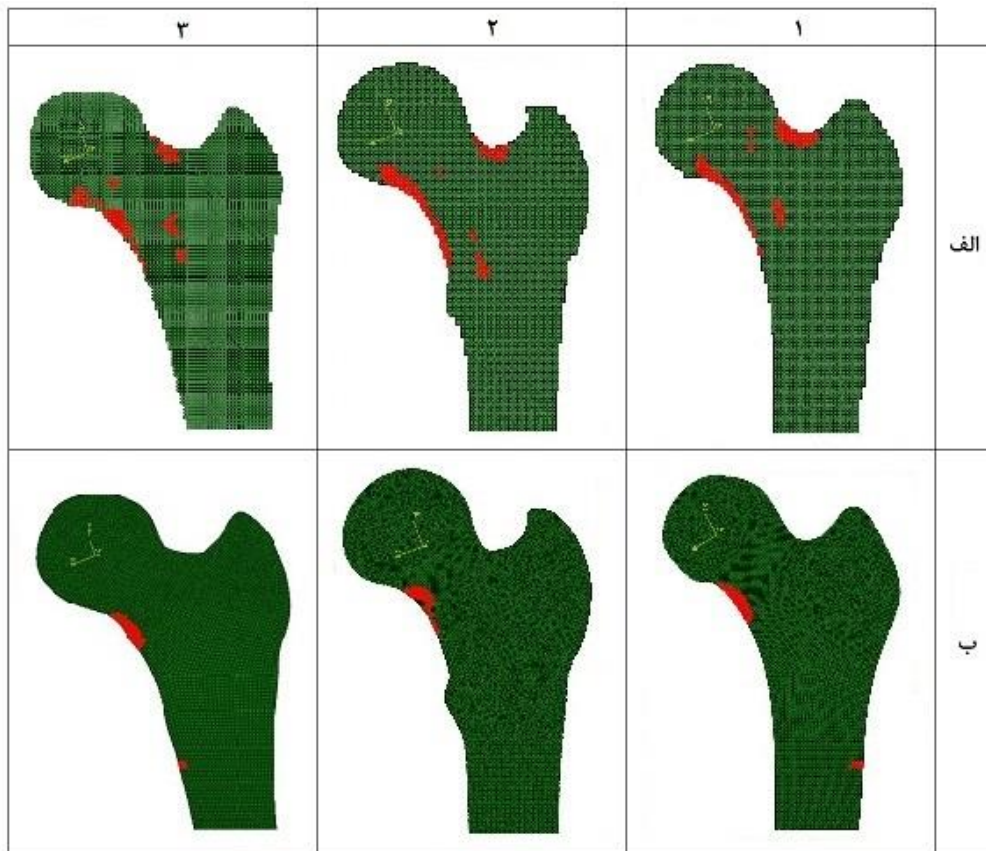
**۳-۲- تحلیل خطی المان محدود**

در تحلیل المان محدود مبتنی بر روش جذب سنجی دو گانه اشعه ایکس، به دلیل دوبعدی بودن تصویر ورودی، نیاز به یک سری ساده سازی می باشد. به عنوان مثال هندسه استخوان بسیار ساده و با یک ضخامت ثابت در راستای محور عمود بر صفحه کرونال فرض شده است.

مدل المان محدود این نمونه ها با استفاده از داده های جذب سنجی دو گانه اشعه ایکس و اختصاص خواص مکانیکی مبتنی بر تراکم مواد معدنی استخوانی هر المان و تبدیل تصاویر حاصل از اسکن تراکم استخوان به مدل دوبعدی با ضخامت ثابت و المان های گره ای ایجاد گردید. سپس با استفاده از کد پایتون نوشته شده در نرم افزار آباکوس، خواص مواد، شرایط مرزی مانند اعمال نیرو و شرایط تکیه گاهی به مدل ساخته شده اعمال گردید. این شرایط مرزی در یک مختصات مرجع و مطابق شرایط فیزیولوژیک بدن تعریف گردیده است [۲۹]. همچنین در این کد صفحه ای مرجع برای یکسان بودن شرایط المان محدود به نام صفحه کرونال و صفحه ای عمود بر آن به نام ساجیتال<sup>۱</sup> برای استخوان ران تعریف شده است. سه نقطه مرجع برای تعریف صفحه کرونال شامل مرکز سر استخوان ران از دید میانی، مرکز سر استخوان ران از دید بالایی و مرکز سر استخوان ران از رو برو می باشد [۱۱]. نیروی فشاری گسترده ای به بزرگی  $2000$  نیوتون به صورت استاتیکی به تمام المان های در گیر در ناحیه ای به شعاع  $15$  میلی متر با رابطه  $7$  به سطح بالایی سر استخوان ران در ناحیه استابیولوم<sup>۲</sup> اعمال شد. همان طور که در شکل ۵ قابل مشاهده می باشد، جهت اعمال بارگذاری در جهات مختلف یک سیستم مختصات جدید با مبدأ مرکز سر استخوان ران تعریف می گردد. این سیستم مختصات با استفاده از کد پایتون ایجاد گردید. همچنین با توجه به این سیستم مختصات جدید، ناحیه تحت بارگذاری نیز مطابق شرایط ذیل تعریف و ایجاد می گردد:

$$Z_{head} = \begin{cases} -w < x < w \\ -\frac{t}{2} < y < \frac{t}{2} \\ z > 0 \end{cases} \quad w = 15mm \quad (7)$$

<sup>1</sup> Sagittal Plane<sup>2</sup> Acetabulum



**Fig. 6. Comparison of femoral fracture pattern of 3 specimens a). Voxel-based model b). Model with 4 material properties**

شکل ۶: مقایسه موقعیت شکست استخوان ران سه نمونه مختلف ۱، ۲ و ۳ تحت جهت بارگذاری  $\alpha = 30^\circ$  و  $\beta = 0^\circ$  (الف) مدل پیکسل به پیکسل (ب) مدل چهار ناحیه‌ای

$$YieldStrainEnergy = \frac{S^2}{2E} \quad \text{رابطه ۹}$$

در این رابطه  $S$  استحکام نهایی و  $E$  مدول الاستیک هر المان بر حسب مگاپاسکال می‌باشد. سپس مقادیر فاکتور خطر مربوط به تمامی المان‌ها به صورت نزولی مرتب می‌گردند؛ در واقع المان‌هایی که دارای بیشترین فاکتور خطر هستند به عنوان المان‌های بحرانی در نظر گرفته می‌شوند و می‌توان گفت این المان‌ها محل شروع و بروز شکست می‌باشند. با افزایش درصد المان‌های بحرانی می‌توان توسعه الگوی شکست و مسیر رشد آسیب را مشاهده نمود.

این روش تجزیه و تحلیل استحکام مطابق با روش تثبیت شده پیشنهادی توسط میرزائی و همکاران برای مدل‌های حاصل از تصاویر برش‌نگاری کمی رایانه‌ای انجام شد. با این تفاوت که این بار تحلیل المان محدود روی مدل استخوانی ایجاد شده بر اساس تصاویر جذب‌سنگی دوگانه اشعه ایکس صورت گرفت. به نظر می‌رسد

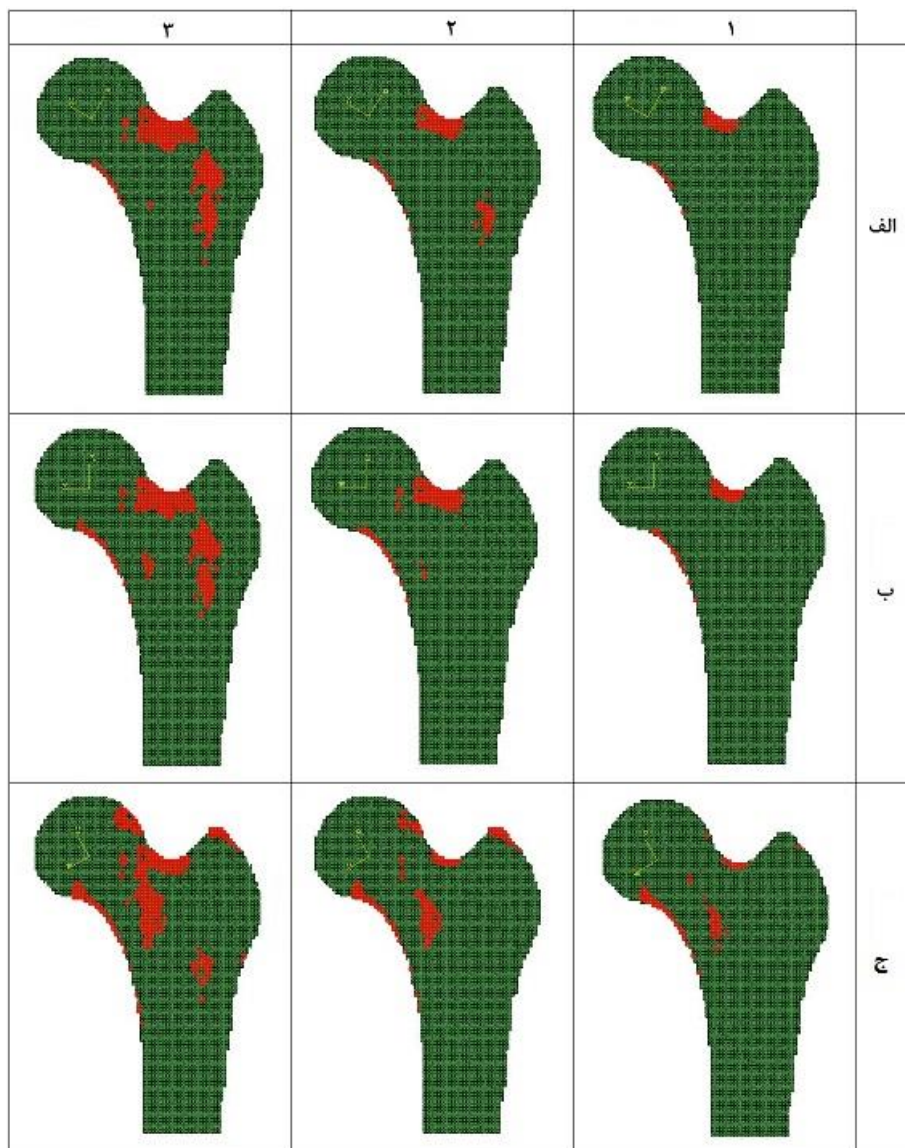
دو مدل با اندازه المان‌های مختلف، نشان داده شد که تفاوت نتایج پیش‌بینی‌ها کمتر از  $0.2\%$  درصد بوده است [۱۰]. بنابراین در این تحقیق نیز تمامی تحلیل‌های المان محدود با اندازه المان برابر با اندازه وکسل‌ها یعنی  $1 \times 1 \times 1$  میلی‌متر مکعب ادامه یافت.

در این پژوهش حل خطی المان محدود مدل استخوانی بر اساس معیار فاکتور خطر<sup>۱</sup> هر المان بنا شده است که از آن برای پیش‌بینی الگوی شکست استفاده می‌گردد. بدین ترتیب فاکتور خطر در هر المان مطابق رابطه ۸ به صورت نسبت چگالی انرژی کرنشی المان به انرژی کرنشی نهایی آن المان تعریف می‌گردد.

$$RF = \frac{StrainEnergyDensity}{YieldStrainEnergy} \quad \text{رابطه ۸}$$

همچنین برای محاسبه انرژی کرنشی نهایی از استحکام نهایی هر المان مطابق رابطه ۹ استفاده می‌گردد.

<sup>1</sup> Risk Factor (RF)



**Fig. 7. Comparison of the development of the fracture pattern along 3 different orientations for specimen 1 a).  $\alpha = -30, \beta = 0$  b).  $\alpha = 0, \beta = 0$  c).  $\alpha = 30, \beta = 0$**

شکل ۷: مقایسه توسعه الگوی شکست استخوان ران تحت جهات مختلف بارگذاری (الف)  $\alpha = -30$  و  $\beta = 0$  (ب)  $\alpha = 0$  و  $\beta = 0$  (ج)  $\alpha = 30$  و  $\beta = 0$

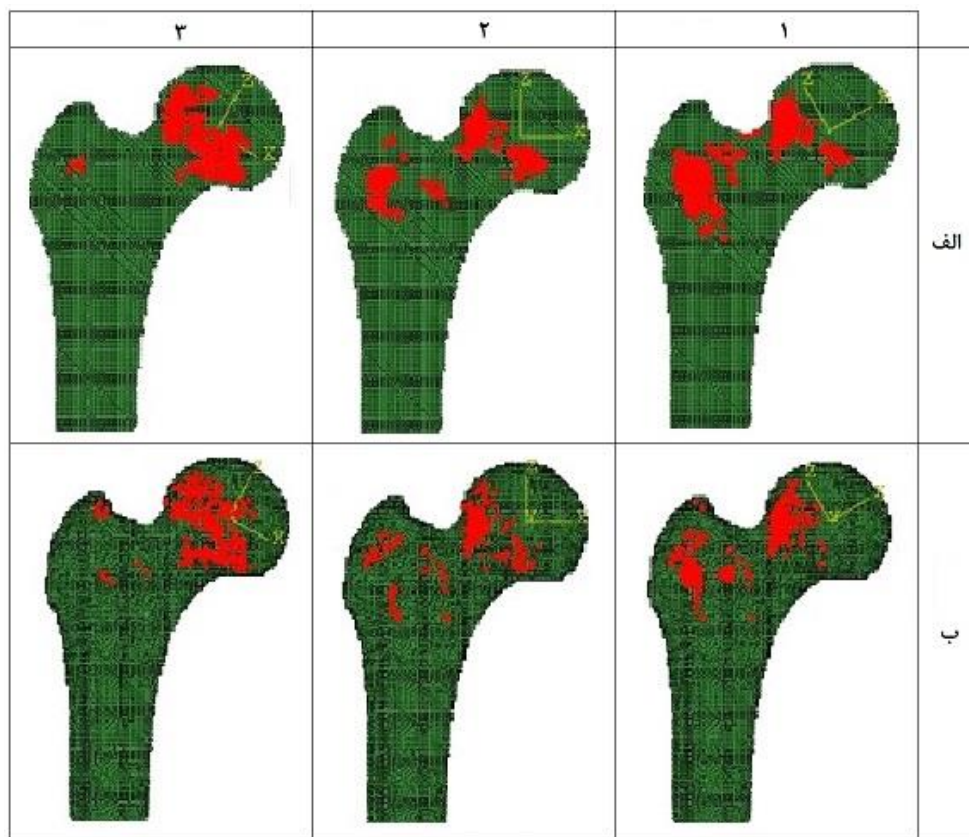
ایستاده و تحت شرایط غیرهمگن می‌باشد. در این تحقیق الگوی شکست پیش‌بینی شده دو مدل مختلف چهار ناحیه‌ای و پیکسل به پیکسل برای بارگذاری‌های مختلف تمامی نمونه‌ها مورد مقایسه قرار گرفت و الگوی شکست برای درصدهای مختلف بیشینه فاکتور خطر تحت جهات مختلف بارگذاری مورد ارزیابی قرار گرفت.

همان‌طور که در شکل ۶ نشان داده شده است، با تغییر رفتار مکانیکی مدل استخوانی از چهار خواص مواد به توزیع غیر همگن پیکسل به پیکسل خواص مواد، تغییر قابل ملاحظه‌ای در الگوی

از آن جایی که مفهوم انرژی کرنشی به صورت همزمان بیانگری از تانسورهای تنش و کرنش است، بنابراین می‌تواند بیانگر مناسبی نیز برای خطر شکستگی باشد [۱۰].

### ۳- یافته‌ها و بحث

هدف اصلی از این مطالعه، بررسی توانایی مدل‌های المان محدود بر اساس تصاویر جذب‌سنگی دوگانه اشعه ایکس جهت پیش‌بینی موقعیت شکست استخوان ران تحت بارگذاری‌های مختلف در حالت



**Fig. 8. Comparison of femoral fracture pattern along 3 different orientations a). DXA-based FEM b). QCT-based FEM**

شکل ۸: مقایسه موقعیت شکست استخوان ران تحت جهات مختلف بارگذاری ۱ تا ۳ (الف) مدل المان محدود مبتنی بر روش جذب‌سنگی دوگانه اشعه ایکس (ب) مدل المان محدود مبتنی بر روش برش‌نگاری کمی رایانه‌ای

حاصل از تحلیل مدل المان محدود پیکسل به پیکسل در تمامی نمونه‌ها قابل مشاهده می‌باشد.

با مقایسه موقعیت شکست استخوان ران نمونه‌های مختلف مطابق شکل ۶ و نتایج حاصل از مطالعات گذشته، نشان داده می‌شود محل شکست تا حدودی مستقل از نمونه و وابسته به جهت بارگذاری می‌باشد. همچنین با توجه به شکل ۷، بارگذاری استخوان ران تحت جهات مختلف در حالت ایستاده موجب انواع مختلفی از شکستگی در نواحی مختلف استخوان ران می‌شود. به طور مثال در حالتی که فرد در حال راه رفتن نرمال یا بالا رفتن از پله باشد، نیروی عکس العمل وارد بر سر استخوان ران به صورت مایل و با زاویه تقریباً ۳۰ درجه اعمال می‌گردد. در این حالت مطابق شکل ۷ (ج)، شکستگی از ناحیه زیرین گردن ران شروع می‌شود و تا ناحیه بالایی گردن امتداد می‌یابد. اگر فرد در حال پایین آمدن از پله یا راه رفتن آرام و یا در ابتدای فاز راه رفتن باشد، معمولاً نیروی وارد بر سر استخوان ران به

شکستگی پیش‌بینی شده قابل مشاهده می‌باشد. به طور کلی با توجه به پیش‌بینی‌های صورت‌گرفته توسط مدل چهار ناحیه‌ای در شرایط بارگذاری مختلف، ناحیه گردن ران به عنوان ناحیه بحرانی شناخته می‌شود که شکستگی از آن ناحیه آغاز می‌گردد. در حالی که مدل پیکسل به پیکسل قادر به پیش‌بینی شکستگی‌های تروکانتری نیز می‌باشد. از آن جایی که در ناحیه تروکانتری اختلاف تراکم مواد معدنی استخوانی زیاد بوده و این موضوع در مدل چهار ناحیه‌ای با میانگین‌گیری قابل لحاظ نمی‌باشد، می‌توان گفت در این مدل پیش‌بینی موقعیت شکست و المان‌های بحرانی از دقت کمتری برخوردار است. به طور کلی با توجه به اینکه در ناحیه تروکانتری، استخوان ترابکولار بیشتری وجود دارد، تراکم مواد معدنی کمتر است و این موضوع باعث تجمعی تنش در سطح کمتری می‌شود که باعث افزایش فاکتور خطر شکست در این ناحیه و ایجاد شکستگی می‌شود. در نهایت با توجه به شکل ۶ دقت قابل توجهی در الگوی شکست

#### ۴- نتیجه‌گیری

اگرچه تحلیل خطی المان محدود مبتنی بر روش تصویربرداری برش‌نگاری کمی رایانه‌ای می‌تواند الگو، بار شکست و استحکام استخوان را با دقت قابل قبولی پیش‌بینی کند، اما از آن جایی که مقدار اشعه مورد استفاده در روش جذب‌سنجدی ناچیز است و دسترسی به آن زیاد است، می‌توان تحلیل خطی المان محدود مبتنی بر این روش را به عنوان جایگزینی مناسبی برای محاسبه خواص مکانیکی استخوان ران به صورت کلینیکی به منظور تشخیص پوکی استخوان، پیش‌بینی موقعیت شکست و پیگیری درمان معرفی کرد.

در مطالعه حال حاضر رفتار استخوان ران تحت بارگذاری با جهات مختلف با استفاده از مدل المان محدود پیکسل به پیکسل مبتنی بر جذب‌سنجدی دوگانه اشعه ایکس شبیه‌سازی گردیده است. با صحت‌سنجی روند پیش‌بینی شده شکست استخوان ران به روش جذب‌سنجدی دوگانه اشعه ایکس با استفاده از روش برش‌نگاری کمی رایانه‌ای می‌توان گفت فاکتور خطر حاصل از تحلیل المان محدود مبتنی بر جذب‌سنجدی دوگانه اشعه ایکس پیش‌بینی کننده بهتری نسبت به مقدار تراکم مواد معدنی به تنها بیان می‌باشد و می‌تواند ارزیابی خطر شکست استخوان ران را به صورت کلینیکی بهبود بخشد، چرا که در این روش در کنار توزیع تراکم مواد معدنی استخوانی از هندسه استخوانی و شرایط بارگذاری نیز بهره گرفته است. همچنین با توجه به غیر همگن بودن ماده استخوانی بهره گرفتن از نقشه تراکم مواد معدنی پیکسل به پیکسل برای این هندسه می‌تواند توانایی پیش‌بینی‌های موقعیت شکستگی را تا حد قابل قبولی بهبود بخشد. در تحقیقات آینده می‌توان از این روش جهت تحلیل استحکام استخوان ران و پیش‌بینی بار شکست نیز استفاده کرد.

#### فهرست عالمان

##### عالمان انگلیسی

ضخامت استخوان ران، cm	$T$
میانگین عرض مقطع گردن استخوان ران، cm	$D$
مدول الاستیک، MPa	$E$
استحکام، MPa	$S$
فاکتور خطر	$RF$
StrainEnergyDensity	
YieldStrainEnergy	
عالمند یونانی	

صورت کمتر از ۱۰ درجه اعمال می‌گردد. در این حالات مطابق شکل ۷ (الف) و ۷ (ب) معمولاً شکستگی در ناحیه بالایی گردن ران شروع و سپس در ناحیه نزدیک به تروکانتر بزرگ به سرعت رشد می‌کند. بنابراین با استفاده از روش المان محدود بر مبنای جذب‌سنجدی دوگانه اشعه ایکس، بدون نیاز به روش‌های مخرب مانند آزمون‌های تجربی و روش برش‌نگاری کمی رایانه‌ای با دوز تابش اشعه زیاد، می‌توان پیش‌بینی کرد که با تغییر جهت بارگذاری در صفحه کرونال، موقعیت شکست و مسیر رشد آن چگونه تغییر خواهد کرد.

برای اطمینان از صحت نتایج به دست آمده از مدل جذب‌سنجدی دوگانه اشعه ایکس، مقایسه‌ای مابین الگوی شکست حاصل شده به این روش و الگوی شکست مدل حاصل از برش‌نگاری کمی رایانه‌ای انجام شده است. لازم به یادآوری است که در تحقیقات گذشته صحت و مطابقت نتایج تحلیل‌های المان محدود بر مبنای مدل برش‌نگاری کمی رایانه‌ای با نتایج تجربی بررسی شده است؛ به گونه‌ای که نتایج تحلیل عددی مبتنی بر برش‌نگاری کمی رایانه‌ای و نتایج آزمون‌های تجربی نشان‌دهنده شبیه‌سازی موفق شکست استخوان ران تحت بارگذاری‌های مختلف بوده است [۱۰]. با توجه به شکل ۸ و با مقایسه پیش‌بینی‌های الگوی شکست استخوان ران در مدل پیکسل به پیکسل جذب‌سنجدی دوگانه اشعه ایکس با مدل سه بعدی برش‌نگاری کمی رایانه‌ای در جهات مختلف بارگذاری در صفحه کرونال ( $\beta = 0^\circ$ ) مطابقت خوبی قابل مشاهده می‌باشد. از آن جایی که تصاویر حاصل از جذب‌سنجدی دوگانه اشعه ایکس و نقشه تراکم مواد معدنی مستخرج از صفحه کرونال می‌باشند، بنابراین این مطابقت در این جهت بارگذاری قابل قبول می‌باشد.

با توجه به نتایج پیش‌بینی‌های صورت گرفته، معیار چگالی انرژی کرنشی می‌تواند علاوه بر مدل‌های سه بعدی حاصل از برش‌نگاری کمی رایانه‌ای در مدل‌های دو و نیم بعدی حاصل از جذب‌سنجدی دوگانه اشعه ایکس نیز تا حدودی برای تشخیص شکستگی استخوان ران و ارزیابی الگوی شکستگی مورد استفاده قرار گیرد. این در حالی است که این روش با ارائه نقشه‌ای مناسب و واقع‌بینانه از موقعیت پیکسل‌های وقوع شکستگی، تنها درصد کمی از دوز تابش اشعه ایکس را به بیمار منتقل می‌کند و به طور گسترده‌تری می‌توان از آن برای ارزیابی بالینی شکست استخوان ران در کلینیک‌ها استفاده نمود.

femurs under various loading orientations, Medical & biological engineering & computing, -477 (2015) (6)53 486.

[10] M. Mirzaei, M. Keshavarzian, V. Naeini, Analysis of strength and failure pattern of human proximal femur using quantitative computed tomography (QCT)-based finite element method, Bone, 114-108 (2014) 64.

[11] M. Mirzaei, S. Samiezadeh, A. Khodadadi, M.R. Ghazavi, Finite element prediction and experimental verification of the failure pattern of proximal femur using quantitative computed tomography images, in: Proceedings of the International Conference on Biomechanics and Biomedical Engineering, 2012, pp. 117-111.

[12] J.F. Griffith, H.K. Genant, Bone mass and architecture determination: state of the art, Best Practice & Research Clinical Endocrinology & Metabolism, -737 (2008) (5)22 764.

[13] A. Bettamer, A. Almhdie-Imjabber, R. Hamblin, S. Allaoui, M. Mahmud, R. Jennane, The use of dual-energy X-ray absorptiometry images to evaluate the risk of bone fracture, in: 2015 International Conference on Image Processing Theory, Tools and Applications (IPTA), IEEE, 2015, pp. 322-319.

[14] E. Dall'Ara, B. Luisier, R. Schmidt, M. Pretterkloiber, F. Kainberger, P. Zysset, D. Pahr, DXA predictions of human femoral mechanical properties depend on the load configuration, Medical Engineering and Physics, (11)35 1572-1564 (2013).

[15] L. Yang, N. Parimi, E. Orwoll, D. Black, J. Schousboe, R. Eastell, O.F.i.M.S.R. Group, Association of incident hip fracture with the estimated femoral strength by finite element analysis of DXA scans in the Osteoporotic Fractures in Men (MrOS) study, Osteoporosis International, 651-643 (2018) (3)29.

[16] K.E. Naylor, E.V. McCloskey, R. Eastell, L. Yang, Use of DXA-based finite element analysis of the proximal femur in a longitudinal study of hip fracture, Journal of Bone and Mineral Research, 1021-1014 (2013) (5)28.

[17] M. Nasiri, Y. Luo, Study of sex differences in the association between hip fracture risk and body parameters

چگالی، عدد پی	$\rho$
زاویه نیرو نسبت به صفحه ساجیتال، درجه	$\pi$
زاویه نیرو نسبت به صفحه کرونال، درجه	$\alpha$
	$\beta$
زیرنویس	
خاکستر	<i>Ash</i>
ظاهری	<i>App</i>
سطوحی	<i>A</i>

## منابع و مراجع

- [1] J.A. Kanis, P. Delmas, P. Burckhardt, C. Cooper, D.O. Torgerson, Guidelines for diagnosis and management of osteoporosis, Osteoporosis International, 406-390 (1997) (4)7.
- [2] J.A. Kanis, D. Hans, C. Cooper, S. Baim, J.P. Bilezikian, N. Binkley, J.A. Cauley, J.E. Compston, B. Dawson-Hughes, G.E.-H. Fuleihan, Interpretation and use of FRAX in clinical practice, Osteoporosis international, (2011) (9)22 2395.
- [3] J.A. Kanis, E.V. McCloskey, H. Johansson, C. Cooper, R. Rizzoli, J.-Y. Reginster, European guidance for the diagnosis and management of osteoporosis in postmenopausal women, Osteoporosis international, 57-23 (2013) (1)24.
- [4] A. Cranney, S.A. Jamal, J.F. Tsang, R.G. Josse, W.D. Leslie, Low bone mineral density and fracture burden in postmenopausal women, Cmaj, 580-575 (2007) (6)177.
- [5] M.R. McClung, The relationship between bone mineral density and fracture risk, Current osteoporosis reports, 63-57 (2005) (2)3.
- [6] C.A. Cefalu, Is bone mineral density predictive of fracture risk reduction?, Current medical research and opinion, 349-341 (2004) (3)20.
- [7] A. Unnanuntana, B.P. Gladnick, E. Donnelly, J.M. Lane, The assessment of fracture risk, The Journal of Bone and Joint Surgery. American volume., 743 (2010) (3)92.
- [8] D.D. Cody, G.J. Gross, F.J. Hou, H.J. Spencer, S.A. Goldstein, D.P. Fyhrie, Femoral strength is better predicted by finite element models than QCT and DXA, Journal of biomechanics, 1020-1013 (1999) (10)32.
- [9] M. Mirzaei, M. Keshavarzian, F. Alavi, P. Amiri, S. Samiezadeh, QCT-based failure analysis of proximal

- Medical engineering & physics, 173-165 (2001) (3)23.
- [24] G.M. Blake, D.B. McKeeney, S.C. Chhaya, P.J. Ryan, I. Fogelman, Dual energy x-ray absorptiometry: The effects of beam hardening on bone density measurements, Medical physics, 465-459 (1992) (2)19.
- [25] A.M. Baker, D.W. Wagner, B.J. Kiratli, G.S. Beaupre, Pixel-Based DXA-Derived Structural Properties Strongly Correlate with pQCT Measures at the One-Third Distal Femur Site, Annals of biomedical engineering, (5)45 1254-1247 (2017).
- [26] X.N. Dong, R. Pinninti, T. Lowe, P. Cussen, J.E. Ballard, D. Di Paolo, M. Shirvaikar, Random field assessment of inhomogeneous bone mineral density from DXA scans can enhance the differentiation between postmenopausal women with and without hip fractures, Journal of biomechanics, 1051-1043 (2015) (6)48.
- [27] J.H. Keyak, Y. Falkinstein, Comparison of in situ and in vitro CT scan-based finite element model predictions of proximal femoral fracture load, Medical engineering & physics, 787-781 (2003) (9)25.
- [28] Y. Luo, Empirical functions for conversion of femur areal and volumetric bone mineral density, Journal of Medical and Biological Engineering, 293-287 (2019) (3)39.
- [29] M. Mirzaei, F. Alavi, F. Allaveisi, V. Naeini, P. Amiri, Linear and nonlinear analyses of femoral fractures: Computational/experimental study, Journal of biomechanics, 163-155 (2018) 79.
- by DXA-based biomechanical modeling, Bone, (2016) 90 98-90.
- [18] E. Dall'Ara, R. Eastell, M. Viceconti, D. Pahr, L. Yang, Experimental validation of DXA-based finite element models for prediction of femoral strength, Journal of the mechanical behavior of biomedical materials, (2016) 63 25-17.
- [19] Y. Luo, S. Ahmed, W.D. Leslie, Automation of a DXA-based finite element tool for clinical assessment of hip fracture risk, Computer methods and programs in biomedicine, 83-75 (2018) 155.
- [20] S. Yang, W. Leslie, Y. Luo, A. Goertzen, S. Ahmed, L. Ward, I. Delubac, L. Lix, Automated DXA-based finite element analysis for hip fracture risk stratification: a cross-sectional study, Osteoporosis International, (2018) (1)29 200-191.
- [21] S. Yang, Y. Luo, L. Yang, E. Dall'Ara, R. Eastell, A.L. Goertzen, E.V. McCloskey, W.D. Leslie, L.M. Lix, Comparison of femoral strength and fracture risk index derived from DXA-based finite element analysis for stratifying hip fracture risk: A cross-sectional study, Bone, 391-386 (2018) 110.
- [22] Y. Luo, H. Yang, Assessment of hip fracture risk by cross-sectional strain-energy derived from image-based beam model, Clinical Biomechanics, 53-48 (2019) 63.
- [23] J.H. Keyak, Improved prediction of proximal femoral fracture load using nonlinear finite element models,

چگونه به این مقاله ارجاع دهیم

Z. Mohammadi, F. Alavi, Prediction of femoral fracture pattern using finite element analysis of dual-energy X-ray absorptiometry -based model. Amirkabir J. Mech Eng., 53(special issue 2) (2021) 1223-1236.

DOI: [10.22060/mej.2019.16816.6450](https://doi.org/10.22060/mej.2019.16816.6450)

